

二分決定グラフによるモデル生成木の刈込み

岡 雄一郎 † 越村 三幸 ‡ 長谷川 隆三 ‡

† 九州大学大学院システム情報科学府

‡ 九州大学大学院システム情報科学研究院

〒 816-8580 福岡県春日市春日公園 6-1

{oka,koshi,hasegawa}@ar.is.kyushu-u.ac.jp

あらまし 論理関数を計算機上で表現する方法として二分決定グラフ (BDD) があり、論理演算や恒偽、恒真性の判定を効率よく計算できるとされている。これをモデル生成法に基づく一階述語定理証明システム MGTP に組み込むことにより MGTP が生成するモデル生成木を刈り込むことができる。本研究では、実際に BDD を組み込んだ MGTP を実装し、従来の MGTP と性能を比較した。

キーワード モデル生成法, 二分決定グラフ

Pruning Model Generation Proof Tree with Binary Decision Diagrams

Yuuichirou Oka Miyuki Koshimura Ryuzo Hasegawa

Graduate School of Information Science and Electrical Engineering
Kyushu University

6-1 Kasuga-Kouen, Kasuga, Fukuoka 816-8580, Japan

{oka,koshi,hasegawa}@ar.is.kyushu-u.ac.jp

Abstract Binary Decision Diagram(BDD) is a data structure that expresses Boolean expressions on computers. We can effectively manipulate Boolean expressions and determine their satisfiability with BDDs. We can enhance proving power of MGTP (Model Generation Theorem Prover) by pruning proof tree of MGTP using BDDs. We implement MGTP with BDD, and compare it with standard MGTP.

key words Model Generation, Binary Decision Diagram

1 はじめに

MGTP(Model Generation Theorem Prover)[2]は、モデル生成法に基づく一階述語論理の定理証明システムである。モデル生成法は、節集合のエルブランモデルの構築を試みることで、節集合の充足可能性の判定を行う。構築途中のモデルをモデル候補と呼ぶ。モデル生成法は、モデル候補で充足されない節の基礎例を用いてモデル候補を拡張していく。この拡張は、全ての節が充足されるか、矛盾が導かれるまで続けられる。一つのモデル候補が複数のモデル候補に拡張されることがある、これは証明の分岐に相当している。

拡張は、盲目的に行われる所以、証明には貢献しない拡張や分岐後の重複証明といった無駄な推論が行われる危険がある。本稿では、これらの無駄な推論を二分決定グラフ(BDD:Binary Decision Diagram)を利用して回避する手法を提案し、その評価を行う。BDDは命題論理式の表現法であり、BDDに対する論理演算は計算機上で効率的に実現できる。

無駄な推論の回避は次の原理に基づいて行われる：

現在着目しているモデル候補が、それ以前までに用いられた基礎例の集合に矛盾していれば、そのモデル候補に対する拡張は不要である。

なぜなら、このモデル候補を含むようなモデルは存在しないので、拡張を続けていっても、いずれ矛盾が導かれるからである。ここで、基礎例の集合もモデル候補も命題論理式として表現できるので、この矛盾検査は、(原理的には)命題論理式の充足不能性の検査となる。本稿では、この充足不能性検査をBDDを用いて行う。

以下では、まずBDDとMGTPの概説を行う。次いで、MGTP証明へのBDD演算の組み込み法について述べる。最後に、本手法の実験結果を述べ、それに対して考察する。

2 二分決定グラフ BDD

2.1 BDD のデータ構造

BDDとは、論理関数をコンパクトに表現できる巡回有向グラフである。BDDの各節点は一つの論理関数を表し、

$$f_v = \bar{v} \bullet f_{v0} + v \bullet f_{v1}$$

と書くこともできる。ここで f_v は変数 v でラベル付けされた論理関数 f で節点に相当する。 f_{v0}, f_{v1} は、0

枝、1枝の指す子節点である。すなわち、BDDは論理関数のShannon展開をグラフで表現したものとも言える。

ここではBDDを図1のように表す。これは $a \vee \bar{b}$ を表すBDDである。BDD中の円は節点(変数節点,node)と呼ばれ、変数でラベル付けされている。正方形で囲まれた0,1は特に定数節点と呼ばれる。それぞれ $false, true$ に対応するものである。節点から左下、右下に出た線をそれぞれ“0枝”, “1枝”といい、変数が0,1の値を持つ場合に対応する。今回は変数がモデルに含まれる場合に、正リテラルならば1枝を、負リテラルならば0枝を対応させることにする。

また枝が指す先の節点を子節点、その逆を親節点と呼ぶことがある。図1の場合、節点n0は節点n1の親節点であり、n1はn0の子節点である。

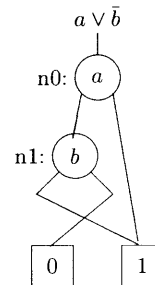


図1: BDD of $a \vee \bar{b}$

また、先頭にある節点(図1ではn0)を根(root)と呼ぶ。根から任意の値をとって終端の“0”または“1”へたどる筋をここでは路(path)と呼ぶ。図1の場合、3本の路が存在する。すなわち、

- $a \rightarrow 1$
- $\bar{a} \rightarrow \bar{b} \rightarrow 1$
- $\bar{a} \rightarrow b \rightarrow 0$

である。

一般にBDDと言えば、既約で順序つきのものを指す。

「既約」というのは、冗長であったり、等価であったりする、不必要的節点を取り除いたという意味である。

冗長な節点というのは、図2の左のような場合である。ここで節点n0,n1は節点n2の親節点であり、節点n3はn2の子節点である。n2について見てみると、0枝、1枝のどちらも同じ節点n3を指しているので、n2にラベル付けされた変数の値によらず、n3へたどりつくことになる。従って、n2は冗長な節点であり、

n_2 を取り除き、 n_2 を指していた枝を n_2 が指している n_3 を指すようにしても等価である。

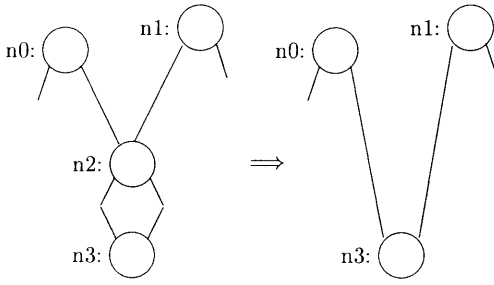


図 2: 冗長な節点の除去

等価な節点というのは、図 3 のような場合である。節点 n_5 と節点 n_6 は同じ変数でラベル付けされ、0 枝が節点 n_7 、1 枝が節点 n_8 とそれぞれ同じ子節点を指している。従って、節点 n_4 の n_6 を指す枝を n_5 に付け替え、 n_6 を取り除いても、BDD は等価である。

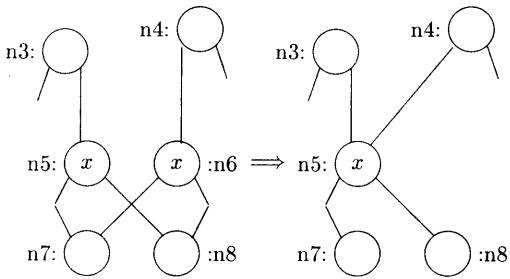


図 3: 等価な節点の除去

「順序つき」というのは BDD 中に出てくる変数それぞれに異なる優先順位がついていて、その優先順位に従って BDD が構成されているという意味であり、任意の path をたどった場合、その path に現れる変数の順序はこの優先順位に等しくなっている。ただし、path 上に入力されたすべての変数が存在するとは限らない。一部の path には現れない場合や、BDD そのものから除去されてしまう場合もあり得る。

二つの論理式の既約で順序つきの BDD が等しいならば、二つの論理式は等価である。

2.2 BDD の構成法

論理式 A を表す BDD はその部分論理式の BDD から A の主論理記号に従って構築される。

図 1 を例にとると、図 4 のような手順となる。左上から順に b , \bar{b} , a , $a \vee \bar{b}$ を表す BDD である。はじめ

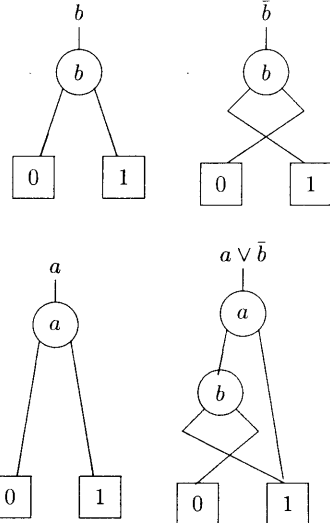


図 4: apply 演算 ($a \vee \bar{b}$)

に b を表す BDD に否定演算を行って、 \bar{b} の BDD を作る。次に a と \bar{b} との論理和演算を行うことによって、 $a \vee \bar{b}$ を表す BDD を求めることができる。

これは、否定や論理和演算に限らず、論理積演算の場合でも適用できる。このように、BDD に対して論理演算を行って新たな BDD を得る演算は apply 演算と呼ばれる。

3 モデル生成法

モデル生成法において、節は次のように含意式の形で表現される。

$$A_1 \wedge A_2 \wedge \dots \wedge A_n \rightarrow C_1 \vee C_2 \vee \dots \vee C_m$$

ここで、 $A_i (1 \leq i \leq n)$ および $C_j (1 \leq j \leq m)$ は原子論理式 (atom) である。 \rightarrow の左側を前件部、右側を後件部という。 $n = 0$ のとき、前件部を特に *true* と書き、正節と呼ぶ。一方 $m = 0$ のとき、後件部を特に *false* と書き、負節と呼ぶ。それ以外の節は混合節と呼ぶ。また、節 $A_1 \wedge A_2 \wedge \dots \wedge A_n \rightarrow C_1 \vee C_2 \vee \dots \vee C_m$ が基礎アトムの集合 M に置換 σ のもとで violated であるとは、 $\forall i (1 \leq i \leq n) A_i \sigma \in M \wedge \forall j (1 \leq j \leq m) C_j \sigma \notin M$ であることをいう。

モデル生成法は、与えられた節集合に対するエルブランモデルを、空集合から始めて構成的に求める証明手法である。

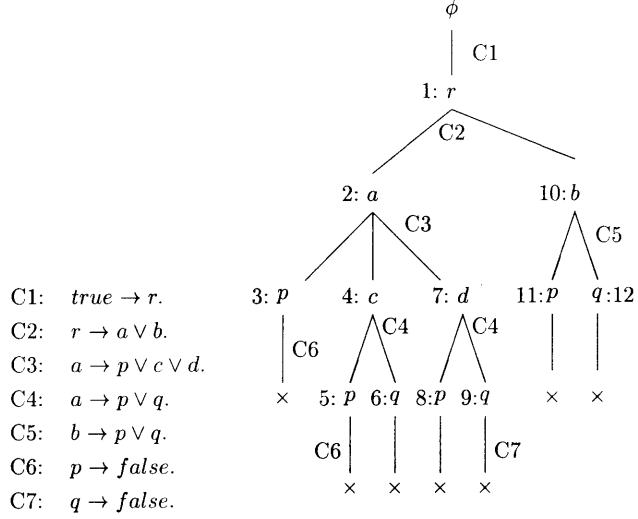


図 5: 例題 S1 とそのモデル生成木

モデル生成法には次の二つの規則がある。規則中 \mathcal{M} は構成途中のモデルの集合を表し、各要素をモデル候補と呼ぶことにする。 \mathcal{M} の初期値は $\{\phi\}$ である。

- モデル拡張規則: 混合節もしくは正節 $A_1 \wedge A_2 \wedge \dots \wedge A_n \rightarrow C_1 \vee C_2 \vee \dots \vee C_m$ が、あるモデル候補 $M \in \mathcal{M}$ に置換 σ のもとで violated である時、 M の代わりに各 $C_j \sigma$ を M に加えてモデル候補 M を拡張する ($\mathcal{M} := \mathcal{M} \cup \{M \bigcup_{j=1}^m \{C_j \sigma\}\} \setminus \{M\}$)。
- モデル棄却規則: 負節 $A_1 \wedge A_2 \wedge \dots \wedge A_n \rightarrow false$ が、あるモデル候補 $M \in \mathcal{M}$ に置換 σ のもとで violated である時、 M を棄却する ($\mathcal{M} := \mathcal{M} \setminus \{M\}$)。

二つの規則のいずれも適用できなくなった時点で、節集合の全モデルが \mathcal{M} の要素として得られる。モデル生成法は健全で完全であることから、 $\mathcal{M} \neq \phi$ ならば節集合は充足可能であり、 $\mathcal{M} = \phi$ ならばその節集合が充足不可能であることがわかる。

なお MGTP では、入力節に値域限定という制約を設けている。値域限定というのは、後件部に現れる変数は、全て前件部に現れるという制約である。これによりモデル候補の各要素は、基底であることが保証される。

図 5 は C1 から C7 の 7 つの節で構成される問題 S1 と、その問題に対して MGTP が生成するモデル生成木である。各アトムの左(12のみ右)にある数字は MGTP が生成したモデル候補に対する番号で、本文

中の M_n の n と対応している。例えば 7 番であれば、 $M_7 = \{r, a, d\}$ のモデル候補を表す。

ここで、根からリテラルをたどったものを枝と呼ぶ。枝が閉じるとは、枝上のリテラルの集合において矛盾が発生するか、モデル棄却規則が適用される場合を言う。完成した枝とはこれ以上モデル拡張規則が適用できない枝か、閉じた枝のことである。一般に枝といった場合には完成した枝のことを指す。

まず、空集合 $\mathcal{M} = \{\phi\}$ から始める。 ϕ に C1 を用いてモデル拡張規則を適用することにより、 $M_1 = \{r\}$ が得られる。次に C2 により M_1 から $M_2 = \{r, a\}$ と $M_{10} = \{r, b\}$ が得られる。 M_2 は C3 によって $M_3 = \{r, a, p\}$, $M_4 = \{r, a, c\}$, $M_7 = \{r, a, d\}$ に拡張される。ここで、 M_3 は C6 によって棄却される。 M_4 は C4 によって $M_5 = \{r, a, c, p\}$ と $M_6 = \{r, a, c, q\}$ に拡張されるが、それぞれ C6, C7 によって棄却される。 M_7 も同様である (M_8, M_9)。一方、 M_{10} は C5 によって $M_{11} = \{r, b, p\}$ と $M_{12} = \{r, b, q\}$ に拡張されるが、それぞれ C6, C7 によって棄却される。今や、 $\mathcal{M} = \phi$ となりどの規則も適用できないので S1 は充足不能であると結論できる。この場合の枝数は 7 でいずれも閉じている。また MGTP が生成したモデル候補数は 12 である。MGTP は、深さ優先、左優先でモデル候補を拡張していく。

4 BDD を利用したモデル生成木の刈り込み

4.1 MGTP への BDD の組み込み

今回試作した MGTP(以下従来の MGTP と区別する必要がある場合は BDD-MGTP と言う)では、従来の MGTP の動作に加えて、新たに以下のことを行う。

4.1.1 BDD の拡張

$$A_1\sigma \wedge A_2\sigma \wedge \dots \wedge A_n\sigma \rightarrow C_1\sigma \vee C_2\sigma \vee \dots \vee C_m\sigma$$

は、前件リテラルを後件に移動させ、

$$\text{true} \rightarrow C_1\sigma \vee C_2\sigma \vee \dots \vee C_m\sigma \vee \bar{A}_1\sigma \vee \bar{A}_2\sigma \vee \dots \vee \bar{A}_n\sigma$$

としても等価である。このことから、節から論理関数

$$C_1\sigma \vee C_2\sigma \vee \dots \vee C_m\sigma \vee \bar{A}_1\sigma \vee \bar{A}_2\sigma \vee \dots \vee \bar{A}_n\sigma$$

を得ることができる。

のことから、節を適用してモデル候補を拡張する際、その節から上記のようにして得られた論理関数を BDD で表し、MGTP が保持する BDD と And 演算を行うことによって BDD を拡張する。

4.1.2 BDD による恒偽判定

モデル候補を拡張した際、BDD を調べることによって生成されたモデル候補が恒偽であるかどうかを判定する。恒偽となることが判定できれば、そのモデル候補を棄却することができる。具体的には、節点にラベル付けされたアトムについて、着目しているモデル候補の中の対応するリテラルが正ならば 1 枝を、負ならば 0 枝をたどる。対応するリテラルがない場合は両方の枝をたどる。この規則に従う全ての路が定数節点 “0” にたどり着くならば、そのモデル候補は恒偽であると判定される。1 つでも定数節点 “1” にたどり着いたならば現時点では恒偽ではないと判定する。

また 1 つのモデル候補が複数のモデル候補に拡張された場合、MGTP ではそのうち 1 つを着目するモデル候補として保持し、残りをスタックに保存する。一つの枝が完成した場合にこのスタックからモデル候補を取り出しが、その際にもこのモデル候補を生成したモデル候補について同様の恒偽判定を行う。

いずれの場合にも、この判定作業は BDD が負節によって拡張されるまでは行われない。

4.2 BDD-MGTP の動作例

先程の例題 S1 で説明する。なお、以下の説明中に単に BDD という場合には、MGTP が保持する BDD を指し、BDD 拡張時に一時的に作られる、適用する節を表す BDD とは区別する。BDD の図は表現を簡易にするため、等価な定数節点を複数描いている。変数の優先順位については、今回試作した BDD-MGTP では問題に出てきた順に優先するようにしているので、それに合わせている。例題で言えば、最初に出てくる r は最も優先順位が高く、次いで a, b, c 、最後に出てくる d は最も優先順位が低くなる。

以下で使うモデル候補番号は図 5 と共通にしているが、BDD-MGTP では生成に至らないモデル候補があるため、実際に BDD-MGTP がつけるモデル候補番号とは異なる。

1. BDD の初期値は 1 である。
2. まず、空集合 ϕ に $C1$ を用いてモデル拡張規則を適用しようとする。ここでは、 $C1$ は初めて適用されるので、 $C1$ を表す仮の BDD を作成し、BDD との And 演算が行なわれる。現時点で $BDD = \text{true}$ なので、仮の BDD がそのまま BDD となる。 $M_1 = \{r\}$ が得られる。
3. 次に $C2$ を適用しようとする。 $C2$ より論理関数 $\bar{r} \vee a \vee b$ が得られる。これを表す仮の BDD を作り、BDD と And 演算を行い、BDD を拡張する。 M_1 と $C2$ から $M_2 = \{r, a\}$ と $M_{10} = \{r, b\}$ が得られる。
4. $C3$ によって BDD は拡張され、 M_2 を $M_3 = \{r, a, p\}$ 。 $M_4 = \{r, a, c\}$, $M_7 = \{r, a, d\}$ に拡張する。始めに M_3 に注目し、 M_4, M_7 はスタックへ積む。
5. $C6$ によって BDD は図 6 のように拡張され、ここで M_3 は MGTP によって棄却される。BDD が負節によって拡張されたため、これ以後のモデル候補拡張時には常に BDD による恒偽判定が行われる。
6. M_2 について恒偽判定を行うが現時点では恒偽と判定できないので、 M_4 をスタックから取り出し拡張する。始めに $C4$ を利用して BDD を図 7 に拡張する。
7. $C4$ と M_4 より $M_5 = \{r, a, c, p\}$ と $M_6 = \{r, a, c, q\}$ に拡張する。 M_5 について BDD を調べると $r -$

$a-p=0$ より恒偽と判定され、棄却される。 M_4 は現時点では恒偽とは判定されないので、スタックから M_6 を取り出す。C7 によって BDD は図8 に拡張され、 M_6 は MGTP によって棄却される。

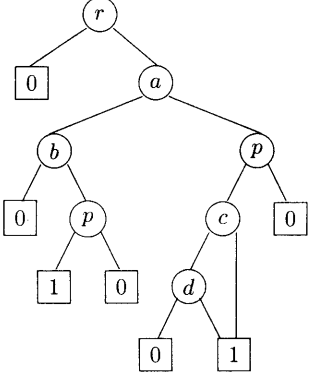


図 6: 手順 5 終了時点

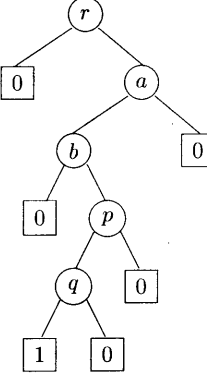


図 8: 手順 7 終了時点

8. M_2 について BDD を調べると $r-a=0$ より恒偽であると判定される。よって、スタック中の M_7 はモデル候補となることなく棄却され、 M_8, M_9 へは拡張されない。
9. M_1 の恒偽判定を行うが現時点では恒偽とは判定できないので、スタックから M_{10} を取り出し、BDD を C5 により拡張すると BDD=0 となる。 M_{10} と C5 より $M_{11} = \{r, b, p\}$ に拡張し、 $M_{12} = \{r, b, q\}$ はスタックに積む。ここで BDD を調べると恒偽なので、 M_{11} は棄却される。スタック中の M_{12} についても同様にモデル候補となることなく棄却される。
10. 今や、 $\mathcal{M} = \phi$ となりどの規則も適用できないので例題は充足不能であると結論できる。

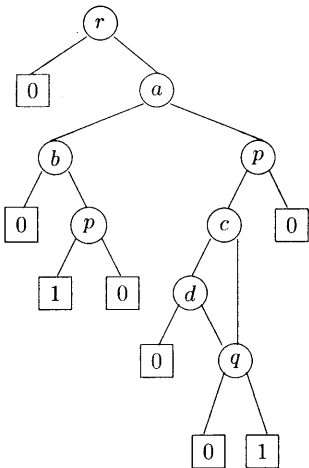


図 7: 手順 6 終了時点

5 実験

5.1 方法

Java により実装した BDD-MGTP と従来の MGTP に、それぞれ問題を解かせ、その性能を比較した。問

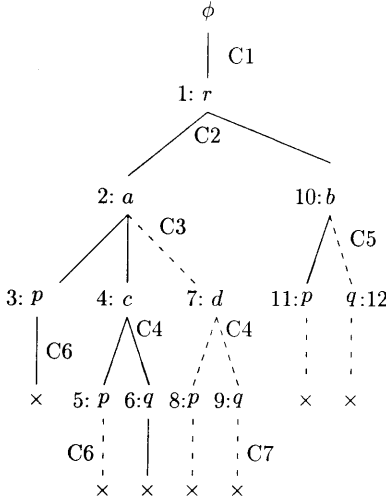


図 9: BDD-MGTP による S1 に対するモデル生成木

題は Thousands of Problems for Theorem Provers[3] から、143 問について計測した。

計測に用いたマシンのスペックは、以下の通りである。

CPU : Intel PentiumII 400MHz

メモリ容量 : 256MB

OS : Microsoft Windows 2000

従来の MGTP として JavaCMGTP Version 32g を、BDD-MGTP は BD_CMGTP Version 32g V7 を、Java は JDK1.3.0 を使用した。

なお、今回は SAT/UNSAT の判別のみを行う方式で計測した。従って、モデルが見つかる問題の場合はそのモデルが見つかった時点で証明は終了する。また、実験を自動で行うため、Perl の子プロセスとして JavaVM を起動するという方法を採用した。Perl は ActiveState Tool Corp. の ActivePerl v5.6.0 for MSWin32-x86-multi-thread Binary build 623¹ を利用した。

5.2 考察

まず始めに、両方式で解けた問題について、2つの観点から考察を行う。ここでは、各データを CMGTP の場合を 1 としたときの BDD-MGTP の割合の平均を示す。表 1 の下段は、BDD の効果が特に発揮される SYN009 を除いた場合である。

表 1: 両方式で解けた場合の比較

(下段は SYN009 を除く)

| | Least | Average | Max |
|-----------------|----------|---------|------|
| Failed branches | 0.000152 | 0.730 | 1 |
| Total atoms | 0.000474 | 0.648 | 1 |
| Proving time | 0.130 | 206.430 | 4995 |
| Failed branches | 0.00574 | 0.740 | 1 |
| Total atoms | 0.00644 | 0.657 | 1 |
| Proving time | 1 | 209.256 | 4995 |

5.2.1 探索空間

棄却された枝数 (Failed branches) と生成されたモデル候補数 (Total atoms) を比較することで考察する。

BDD の効果が顕著に表れる SYN009 では、CMGTP では 19683 本の枝を棄却し、29526 個のモデルを生成したのに対して、BDD-MGTP では 3 本、14 個にまで激減した。それ以外の問題は、枝数、モデル数とともに 1/200 程度に減少した問題からまったく変わらない問題が存在した。枝数に関しては平均すると 73% に、UNSAT の問題では 64% に、またモデル数に関しても平均 65% に、UNSAT の問題では 57% に、減少したことから、BDD は探索空間を小さくすることに関しては有効に働くと言える。

5.2.2 証明速度

証明時間 (Proving time) を比較することで考察する。

前の項目と同様に、SYN009 では、CMGTP よりも早く判別することができた。しかしながら、SYN009 を除くと最速の場合でも CMGTP と同じ時間であり、5000 倍の時間がかかるものも存在した。平均でも 200 倍強となっている。

この理由として、BDD は命題論理しか扱うことができず、述語論理などで atom の数が増大すると BDD が大きくなりやすく、その演算と標準化に時間がかかることが考えられる。

この他に、CMGTP に比べて、メモリ不足による終了が多く(表 5.2.2)、特に、CMGTP が判別でき、BDD-MGTP が判別できなかった(異常終了した)場合の原因は、JavaVM が原因を報告しなかった場合を除くと全てメモリ不足によるものであった。これは BDD を拡張する際に、最悪の場合、節点数が指数関数的に増加し、かつその節点数に比例してメモリの使用量が増えるためと考えられる。

¹<http://www.activestate.com/Products/ActivePerl/>

表 2: 両方式で解けた問題の判定結果による比較
(上段:UNSAT(52 問)/下段:SAT(23 問))

| | Least | Average | Max |
|-----------------|----------|---------|------|
| Failed branches | 0.000152 | 0.635 | 1 |
| Total atoms | 0.000474 | 0.569 | 1 |
| Proving time | 0.13 | 166.657 | 2747 |
| Failed branches | 0.745 | 0.955 | 1 |
| Total atoms | 0.522 | 0.826 | 1 |
| Proving time | 2.5 | 294.620 | 4995 |

表 3: 結果別の問題数

| | BDD | MGTP |
|--------------------|-----|------|
| successful | 75 | 109 |
| OutOfMemoryError | 46 | 17 |
| Timeout (600sec.) | 10 | 15 |
| StackOverflowError | 6 | 1 |
| Exception | 6 | 1 |

6 おわりに

本研究では、JavaによるBDD-MGTPの試作を行い、MGTPとの比較実験によりその性能を確かめた。

比較実験では、BDDを利用することにより、モデル生成木を刈込む点については効果があったが、BDDを作成するために非常に時間を費やすため、証明時間が著しく増加することも判明した。また、節点数に比例してメモリの使用量が増加し、メモリ不足による異常終了も比較的多かった。

ただし、以下の点を考慮することにより、さらなる速度向上、メモリ使用量の節約を図ることも可能であると考えられる。

- 節点数の抑制

BDDの演算は、BDDの節点数をm,nとすると、 $O(mn)$ の時間を必要とする。従って、BDDの節点数を減らすことによって、演算に要する時間を減らすことができる。また、節点数に比例してメモリを使用するため、メモリ使用量の節約を図ることもできる。具体的には、以下の2点を挙げておく。

- 述語論理に関してのBDDの拡張

今回試作したBDDは命題論理に限定されており、atomの数が増えるにつれて節点が増大し、その演算に非常に時間を費やし

たが、BDDが述語論理を扱えるようになれば、atomが増加しても、節点数を抑えられ、演算に費やす時間とメモリ使用量を減らすことができると考えられる。

- 変数の優先順序の最適化

BDDは変数の優先順位を変更することによって、節点数も変化することが知られている。従って、最小の節点数でBDDを構成することのできる最適な変数の優先順位を見つけることによって、節点数を減らすことができる。しかし、そのアルゴリズムとしては、 $\mathcal{O}(n^2 3^n)$ (n :入力変数の数)のものしか発見されておらず、多くの変数を扱うことができない。今回、変数の優先順位については問題節に登場した順としたが、よりよいアルゴリズムを採用することによって変数の優先順序を最適化することにより、節点数を減らすことも可能であると考えられる。

- 適當な標準化を施したBDDの採用

今回試作したBDDは「既約な順序つき」のBDDをつくるような仕様となっている。しかしながら、MGTPにとってはBDDは目的ではなく、手段の一つであるため、完全に「既約な順序つき」にする必要はなく、同じ程度の精度が得られるならば、むしろ適切な程度の「既約な順序つき」にすることによって、演算に費やす時間を減らすことができると考えられる。

今回開発したBDDは、あくまで試験的なものであり、上に挙げた改良点を含め、改良の余地は多々存在する。これらの改良によるBDDの拡張や演算の高速化とメモリ使用量の節約、及びその評価を今後の課題とする。

参考文献

- [1] 石浦菜岐佐. BDD とは. 情報処理 Vol.34 No.5 pp.585-592, May 1993.
- [2] 長谷川隆三, 藤田博. Javaによるモデル生成型定理証明系 MGTP の開発. 情報処理学会論文誌 Vol.41 No.6 pp.1791-1798, June 2000.
- [3] Geoff Sutcliffe and Christian Suttner. Thousands of problems for theorem provers, v2.3.0, November 1999. <http://www.cs.jcu.edu.au/~tptp/>.